

НЕЙТРОННО-ОБЛУЧЕННЫЕ SiC(6H) *p-n*-СТРУКТУРЫ: ТОКОПРОХОЖДЕНИЕ

© В.В. Евстропов, А.М. Стрельчук

Физико-технический институт им. А.Ф. Иоффе Российской академии наук,
194021 Санкт-Петербург, Россия

(Получена 2 августа 1994 г. Принята к печати 20 марта 1995 г.)

Исследовано влияние нейтронного облучения на прямой и обратный токи эпитаксиальных *p-n*-структур на SiC(6H). В диапазоне плотностей прямого тока $10^{-6} < j < 10^0 \text{ A/cm}^2$, а также при обратных допробойных напряжениях наблюдался рост тока после облучения. В облученных *p-n*-структурах прямой ток экспоненциально зависит от напряжения в диапазоне температур $77 \div 700 \text{ K}$ и плотностей тока $10^{-6} \div 10^0 \text{ A/cm}^2$; такой ток интерпретирован согласно модели термотуннельного тока. Обратный ток, как и прямой, имеет признаки туннелирования. Признаки туннелирования у прямых токов в структурах, облученных нейтронами с энергией порядка 1 МэВ (доза $5 \cdot 10^{14} \text{ см}^{-2}$), проявляются вплоть до температур $600 \div 700 \text{ K}$.

1. Введение

Известно, что облучение нейтронами таких полупроводников, как Si, GaAs, как правило, приводит к уменьшению времени жизни, концентрации и подвижности носителей заряда, причем наиболее радиационно-чувствительным параметром часто оказывается время жизни [1]. Исследование радиационной стойкости SiC показало, что облучение приводит к росту удельного сопротивления (за счет уменьшения концентрации и подвижности носителей заряда), и при нейтронном облучении данный эффект особенно заметен при дозах более 10^{16} см^{-2} , т.е. больших, чем для Si и GaAs [2,3]. В большинстве других работ подтверждается этот факт. Кроме того, в ряде работ при исследовании влияния облучения на *p-n*-структуры на основе SiC отмечается рост обратных токов и прямых токов при малых смещениях. Однако детально механизм тока в *p-n*-переходе не исследовался [2,4]. Следует отметить, что в работе [4] на основании исследования монополярной и двойной инжекции до и после нейтронного облучения в *p-i-n*-структурах с широким компенсированным *i*-слоем сделан вывод о том, что уменьшения времени жизни при облучении не происходит (анализировался прямой ток, имевший степенную зависимость от напряжения).

2. Объекты исследования

В данной работе исследовано влияние нейтронного облучения на токопрохождение в резких асимметричных $p^+ - n$ -структур на основе SiC(6H). Эпитаксиальные n - и p^+ -слои были изготовлены бесконтактной жидкостной эпитаксией в одном технологическом процессе [5]. В качестве подложек использовались монокристаллы SiC, изготовленные методом Лели. Рост эпитаксиальных слоев производился на грани (0001)Si. Концентрация нескомпенсированных доноров в n -слое составляла $N_d - N_a = (0.5 \div 1) \cdot 10^{18} \text{ см}^{-3}$. Меза-структуры площадью $\sim 10^{-3} \text{ см}^2$ были изготовлены реактивным ионно-плазменным травлением [6]. Контакт к p^+ -слою осуществлялся напылением алюминия, к подложке — напылением хрома. Облучение проводилось нейтронами с энергией порядка 1 МэВ последовательно в два этапа: доза первого этапа $5 \cdot 10^{13}$, второго $5 \cdot 10^{14} \text{ см}^{-2}$.

3. Изменение вольт-амперных характеристик в результате облучения

Структуры, предназначенные для облучения, были из числа обычных структур, изготавливаемых методом бесконтактной жидкостной эпитаксии. До облучения прямая вольт-амперная характеристика (ВАХ) в диапазоне температур $300 \div 800$ К имела два участка термоинжекционного тока, которые описывались зависимостью типа

$$j = j_0 \exp(qU/\varepsilon), \quad (1)$$

где

$$j_0 \sim \exp(-E_g/\varepsilon), \quad (2)$$

$$\varepsilon = \beta kT, \quad (3)$$

с коэффициентом β , не зависящим от температуры. E_g — ширина запрещенной зоны.

Термоинжекционные токи характеризовались $\beta \approx 2$ при плотностях тока до $j \approx 10^{-4} \text{ А/см}^2$ и $1 < \beta < 2$ при $j > 10^{-4} \text{ А/см}^2$ (см., например, [7]). Эти токи были описаны в моделях, рассматривающих рекомбинацию в слое объемного заряда (СОЗ) $p-n$ -перехода или через глубокий уровень ([8], $\beta = 2$), или через многоуровневый (многовалентный) центр ([9], $1 < \beta < 2$).

После каждого облучения два экспоненциальных участка прямой ВАХ сохраняются и по-прежнему описываются формулой (1), но ток при заданном напряжении возрастает, β увеличивается по мере увеличения дозы облучения. Общая тенденция эволюции вольт-амперной характеристики — образование моноэкспоненциального участка во всей области токов (рис. 1, a). Изменяется и характер температурной зависимости ВАХ, в частности коэффициент β становится температурно-зависимым.

Обратные допробойные токи $p-n$ -структур, имевшие до облучения малый вклад токов утечки, значительно возрастают после каждой дозы облучения (рис. 1, b). Обратные токи структур, имевших до облучения

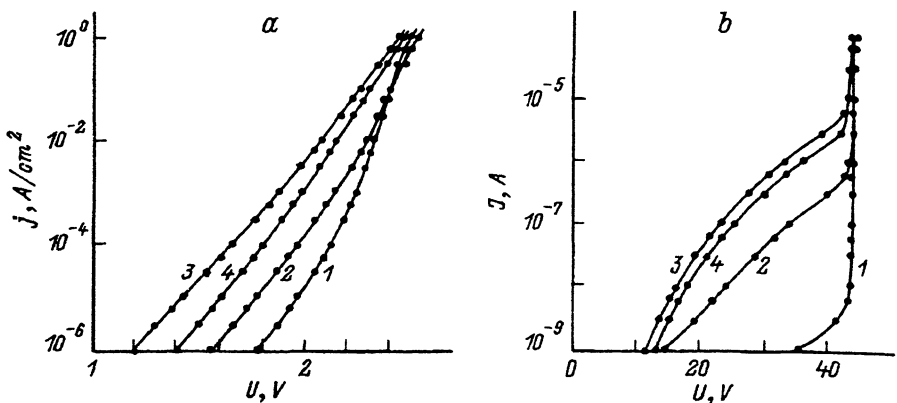


Рис. 1. Прямые (а) и обратные (б) вольт-амперные характеристики $p-n$ -структур при комнатной температуре до облучения (1), после первой (2) и второй (3) доз облучения и последующего отжига при 550°C в течение 1 ч (4).

большой вклад токов утечки, изменяются незначительно или даже могут несколько уменьшиться (рис. 2, б) (данний эффект аналогичен обнаруженному в [^{2,4}]). В области лавинного пробоя (микроплазменного) с ростом дозы облучения в большинстве случаев напряжение пробоя незначительно монотонно уменьшается (после второй дозы на $\sim 1\%$ от исходного).

В области больших прямых токов падение напряжения слабо растет при облучении: после второй дозы сопротивление возрастает не более, чем на 10% от исходного (рис. 2, а).

Кроме того следует отметить, что в результате облучения заметно снижается эффективность инжеクционной электролюминесценции.

Отжиг (при 550°C в течение 1 ч) приводит к частичному восстановлению исходных характеристик (рис. 1, а, б, кривые 4).

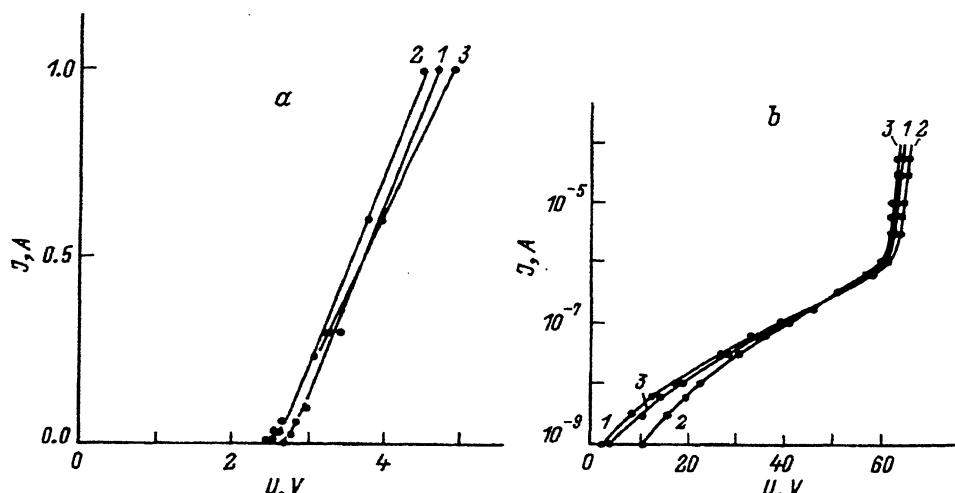


Рис. 2. Прямые (а) и обратные (б) вольт-амперные характеристики $p-n$ -структур с большими токами утечки при комнатной температуре до облучения (1), после первой (2) и второй (3) доз облучения.

4. Температурная зависимость вольт-амперных характеристик облученных структур

Температурные зависимости прямых и обратных токов приведены на рис. 3,*a,b*.

Прямой ток. Из рис. 3,*a* видно, что при всех температурах сохраняется общий вид прямой ВАХ: она состоит из двух экспоненциальных участков типа $j = j_0 \exp(qU/\beta kT)$. При высоких температурах характеристический коэффициент $\beta = \varepsilon/kT$ практически не зависит от температуры и близок к $\beta = 2$ на нижнем участке ВАХ и к $\beta = 1.5$ (для рассматриваемой структуры) — на верхнем. Однако при понижении температуры β растет и наблюдается тенденция к параллельному сдвигу соответствующих участков ВАХ, т.е. характеристическая энергия $\varepsilon = \beta kT$ перестает зависеть от температуры (рис. 4,*a*). Температурная зависимость предэкспоненты j_0 в области низких температур слабая, а в области высоких температур близка к экспоненциальной (рис. 4,*b*).

Обратный допроводный ток *p-n*-структур как при комнатной, так и при более высоких температурах описывается зависимостью от напряжения, близкой к степенной: $j \sim U^m$, где m монотонно уменьшается с ростом температуры ($m \approx 7$ при комнатной температуре и $m \approx 4$ при $T = 540$ К). Температурная зависимость тока — достаточно слабая (рис. 3,*b*).

5. Механизм тока в облученных структурах

Прямой ток. Как следует из экспериментальных данных, при высоких температурах прямые токи в исследованных облученных структурах качественно соответствуют моделям чисто термических (термоинжекционных) токов [8,9], для которых наиболее характерными признаками являются температурная независимость β и термоактивационная зависимость j_0 с энергией активации, примерно равной E_g/β .

При низких температурах прямые токи в облученных структурах качественно соответствуют модельным представлениям об избыточных туннельных токах [10], для которых характерными признаками являются температурная независимость ε и слабая (не термоактивационная, как для термоинжекционных токов) температурная зависимость j_0 . Величины ε_0 для нижнего и верхнего участков ВАХ (80 и 50 мэВ соответственно) близки к величине ε для туннельных токов, наблюдавшихся в [11] ($\varepsilon = 20 \div 70$ мэВ), однако $j_0 \leq 10^{-15}$ А/см², т.е. значительно меньше, чем в [11], где $j_0 \sim 10^{-8}$ А/см². Экспериментальная температурная зависимость j_0 оказывается более сильной, чем для модельных туннельных токов [9], где она определяется главным образом температурной зависимостью ширины запрещенной зоны.

Для описания наблюдавшихся прямых токов использованы функциональные зависимости, приведенные в работе [12] как для термоактивационного, так и для туннельного преодоления носителями потенциальных барьеров в неидеальных (содержащих дефекты на границе) гетеропереходах. Эти зависимости в случае гомоперехода даются формулами (1) и (2), в которых температурная зависимость ε дается не

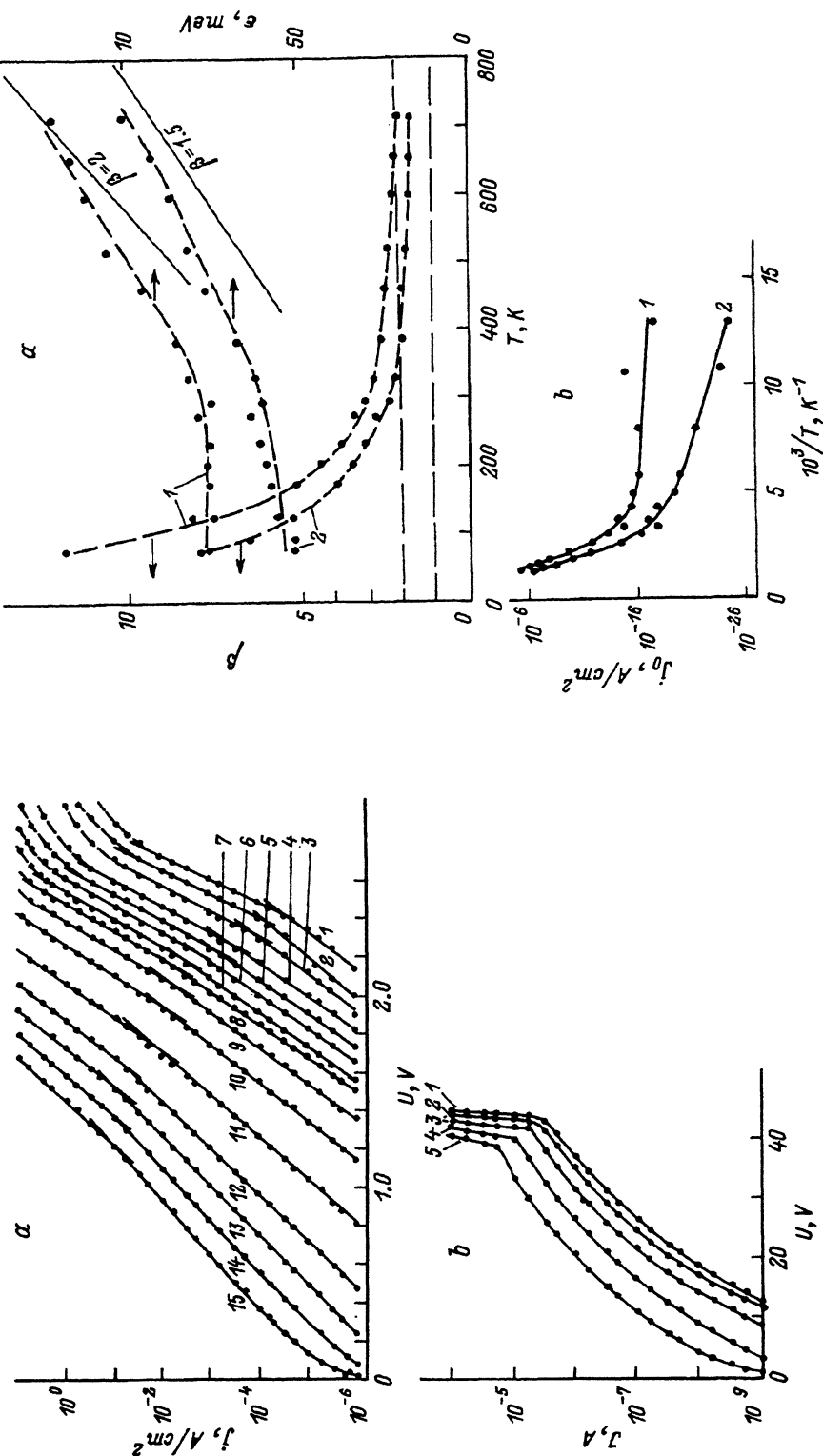


Рис. 3. Прямые (а) и обратные (б) вольт-амперные характеристики $p-n$ -структур при различных дозах облучения и температурах. а — T ; 1 — 77, 2 — 93, 3 — 125, 4 — 173, 5 — 203, 6 — 234, 7 — 274, 8 — 295, 9 — 331, 10 — 385, 11 — 462, 12 — 519, 13 — 593, 14 — 655, 15 — 716. б — T ; 1 — 295, 2 — 335, 3 — 391, 4 — 465, 5 — 541.

Рис. 4. Температурные зависимости параметров β , ε (а) и j_0 (б) нижнего (1) и верхнего (2) участков прямой вольт-амперной характеристики.

1 — T ; 2 — T .

формулой (3), а заменена на термотуннельную

$$\varepsilon_{\text{eff}} = \varepsilon_0 \operatorname{cth} \frac{\varepsilon_0}{\beta_\infty kT}. \quad (4)$$

Для лучшего сопоставления с экспериментом зависимость (4) представлена в более общем, чем в работе [12], виде за счет введения коэффициента β_∞ . Здесь ε_0 — температурно-независимая характеристическая энергия, зависящая от эффективной массы носителя, туннелирующего через барьер. Из (2) и (4) видно, что при $\varepsilon_0 \ll kT$ $j_0 \sim \exp(-E_g/\beta_\infty kT)$, т.е. происходит термоактивационное преодоление барьера, а при $\varepsilon_0 \gg kT$ $j_0 \sim \exp(-E_g/\varepsilon_0)$ — туннельное преодоление барьера. Определяя β_{eff} как $\beta_{\text{eff}} = \varepsilon_{\text{eff}}/kT$, получим, что в общем случае β_{eff} растет с понижением температуры и асимптотически стремится к β_∞ при высоких температурах. Из выражений (2) и (4) следует, что в случае соответствия модели экспериментальные зависимости от температуры предэкспоненциального множителя j_0 и характеристической энергии ε , построенные в координатах

$$\beta \lg j_0 = (T^{-1}), \quad (5)$$

$$\left(\operatorname{Arth} \frac{\varepsilon_0}{\varepsilon} \right)^{-1} = (T), \quad (6)$$

должны представлять собой прямые линии.

Из рис. 5 видно, что соответствие хотя и не полное, но можно считать его достаточно хорошим, особенно для верхнего участка ВАХ.

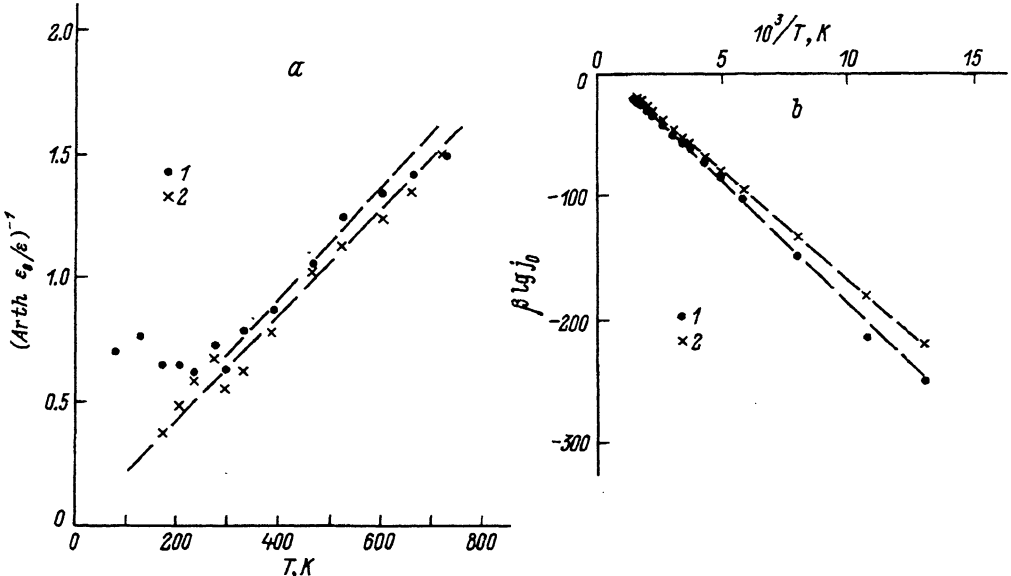


Рис. 5. Температурные зависимости параметров ε (а) и j_0 (б) нижнего (1) и верхнего (2) участков прямой вольт-амперной характеристики, построенные в координатах модели [12]. а — линиями показан расчет $\operatorname{Arth}(\varepsilon_0/\varepsilon_{\text{eff}})$ при $\varepsilon_0 = 70$ мэВ, $\beta_\infty = 1.9$ (верхняя прямая) и $\varepsilon_0 = 58$ мэВ, $\beta_\infty = 1.45$ (нижняя). б — линии проведены через экспериментальные точки; значения j_0 взяты в А/см².

Следует подчеркнуть, что обнаруженные термотуннельные токи не являются простой суммой независимых туннельного и термического токов, а реализуется единый термотуннельный механизм тока.

Итак, можно сделать вывод, что облучение привело к трансформации термических (термоинжекционных) токов в термотуннельные, т.е. туннельный механизм при преодолении барьера приобрел большее значение по сравнению с термическим, причем незаметен параллельный сдвиг ВАХ при облучении, который свидетельствовал бы об изменении времени жизни носителей.

Обратим внимание, что туннелирование в $p-n$ -структуратах на основе $\text{SiC}(6H)$ может иметь место не только после нейтронного облучения. Так, при исследовании необлученных структур установлены следующие два факта:

— при охлаждении структур до температур ниже $150 \div 250$ К термотуннельные токи начинают проявляться даже в тех структурах, в которых при комнатной температуре их не было;

— в некоторых структурах термотуннельные токи проявляются при комнатной и более высоких температурах, свидетельствуя об эквивалентности (по такому критерию, как характер изменения механизма тока) облучения и тех технологических факторов, которые определяют дефектность материала (известно, что именно наличие дефектов способствует процессам туннелирования [10,12]).

В связи со сказанным достаточно правдоподобным кажется следующее предположение: наблюдавшиеся многими исследователями $p-n$ -структур на основе $\text{SiC}(6H)$ (начиная с 1957 г. [13]) достаточно протяженные экспоненциальные участки прямой ВАХ с β , зависящим от температуры, и (или) с $\beta > 2$ соответствуют модели термотуннельных, а не чисто термических токов.

Обратный ток. Характер зависимостей обратного тока от напряжения (степенная зависимость с большим показателем степени), его величина и относительно слабая температурная зависимость по сравнению с температурной зависимостью обратного термического (термогенерационного) тока делают вероятным предположение о термотуннельных механизмах также и обратного тока.

6. Заключение

Итак, установлено, что в $p-n$ -структуратах на основе $\text{SiC}(6H)$ нейтронное облучение приводит к трансформации прямых токов из термических (термоинжекционных) в термотуннельные и появлению значительных избыточных обратных допробойных токов, которые, по всей вероятности, также являются термотуннельными.

Кроме того, есть основания утверждать, что не только в облученных, но и в необлученных $p-n$ -структуратах на основе $\text{SiC}(6H)$ прямой ток является термотуннельным, т.е. чисто термическим при высоких температурах и приобретает туннельные признаки при низких. Положение температурной границы перехода к чисто термическому току характеризует качество SiC , так как определяется степенью его дефектности.

Авторы благодарят В.А.Дмитриева, инициировавшего исследования характеристик нейтронно-облученных структур и изготовленного $p-n$ -структур, А.Л.Сыркина за изготовление омических контактов и травление меза-структур, В.В.Сидорина и О.Ф.Бышка за проведение облучения, И.В.Попова за обсуждение результатов, В.Е.Челнокова за интерес к работе.

Работа выполнена при частичной поддержке Министерства обороны США.

Список литературы

- [1] Ф.П. Коршунов, Г.В. Гатальский, Г.М. Иванов. *Радиационные эффекты в полупроводниковых приборах* (Минск, Наука и техника, 1978).
- [2] L.W. Aukerman, H.C. Gorton, R.K. Willardson, V.E. Bryson major. *Proc. Conf. on Silicon Carbide*, ed. by J.R.O'Connor, J.Smilten (Pergamon Press, 1960, p. 388).
- [3] Ю.Н. Николаев. Электрон. техн., сер. 2, вып. 3, 54 (1966).
- [4] И.В. Рыжиков, И.Л. Касаткин, Е.Ф. Уваров. Электрон. техн., сер. 2, вып. 4, 9 (1981).
- [5] В.А. Дмитриев, П.А. Иванов, И.В. Коркин, Я.В. Морозенко, И.В. Попов, Т.А. Сидорова, А.М. Стрельчук, В.Е. Челноков. Письма ЖТФ, **11**, 238 (1985).
- [6] И.В. Попов, А.Л. Сыркин, В.Е. Челноков. Письма ЖТФ, **12**, 240 (1986).
- [7] М.М. Аникин, В.В. Евстропов, И.В. Попов, А.М. Стрельчук, А.Л. Сыркин. ФТП, **23**, 1813 (1989).
- [8] C.-T. Sah, R.N. Nooyse, W. Shockley. Proc. IRE, **45**, 1228 (1957).
- [9] В.В. Евстропов, К.В. Киселев, И.Л. Петрович, Б.В. Царенков. ФТП, **18**, 1852 (1984).
- [10] С. Зи. *Физика полупроводниковых приборов* (М., Мир, 1984).
- [11] И.В. Рыжиков. Электрон. техн., сер. 2, вып. 3, 3 (1970).
- [12] А.Я. Шик. ФТП, **17**, 1295 (1983).
- [13] L. Patrick. J. Appl. Phys., **28**, 765 (1957).

Редактор Л.В. Шаронова

Neutron irradiated SiC(6H) $p-n$ structures: current-voltage characteristics

V.V. Eustropov, A.M. Strel'chuk

A.F.Ioffe Physicotechnical Institute, Russian Academy of Sciences,
194021 St.-Petersburg, Russia

The effect of neutron irradiation on forward and reverse currents in SiC(6H) epitaxial $p-n$ structures was investigated. The forward current in the range of current densities $10^{-6} < j < 10^0 \text{ A/cm}^2$ and the reverse current in the range of voltages lower than the breakdown voltage have increased as a result of irradiation. In the irradiated $p-n$ structures the forward current varied exponentially with the voltage in the temperature range 77–700 K and within the current range 10^{-6} – 10^0 A/cm^2 . The current-voltage characteristic was interpreted in terms of a model of the thermally-assisted tunnel current. The reverse current in the irradiated structures showed features that are typical of the tunnel current. In structures irradiated with neutrons of about 1 MeV (the dose was $5 \cdot 10^{14} \text{ cm}^{-2}$) the tunneling features of the forward current were observed up to 600–700 K.